

# Urychlování částic ve vesmíru aneb záhadné extrémně energetické kosmické záření



# Pozorování kosmického záření

**Kosmické záření** je proud převážně nabitých částic, které dopadá na zeměkouli z kosmického prostoru. (Ale i gama záření s energiemi nad 100 keV, díky korpuskulárnímu chování.)

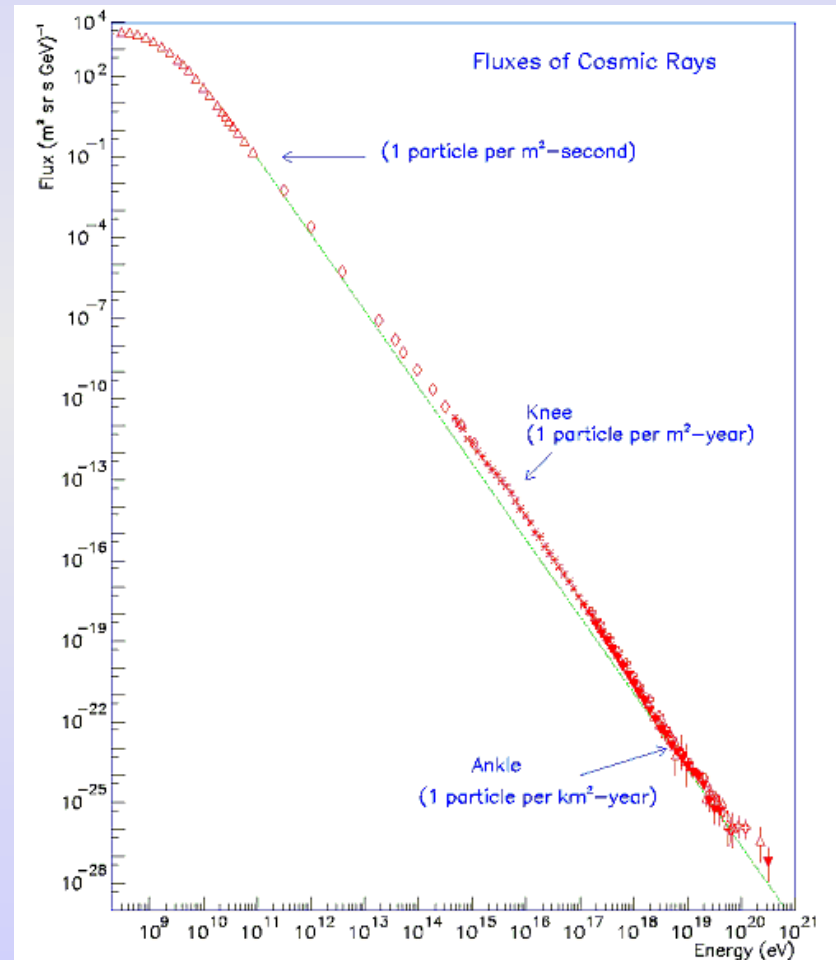
Jednotka energie **1 eV** =  $1.6 * 10^{(-19)}$  J

Co pozorujeme:

1. Intenzitu (energetické spektrum)
2. Anizotropii
3. Chemické složení

# Energetické spektrum

- Mocný pokles intenzity
- vliv Slunce ( $< 10^{10}$  eV)
- koleno ( $3 \cdot 10^{15}$  eV)
- kotník ( $6 \cdot 10^{18}$  eV)
- konec spektra ?

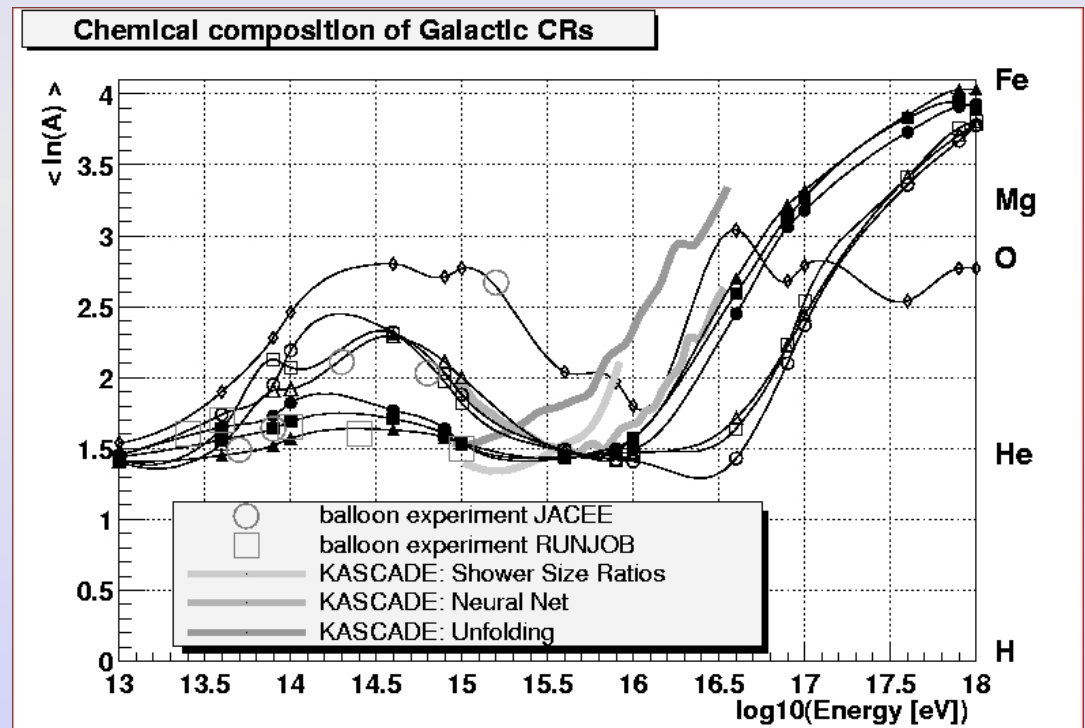


# Vznik kolena v energetickém spektru

- nedávný výbuch supernovy
- konec spektra jednoho typu zdroje
- unikání z magnetického pole Galaxie

## Mé výsledky:

- jednoduchý model
- objevuje se koleno
- předpověď změny v zastoupení atomů



# Anisotropie

Odchylka od isotropie  $\delta = \frac{I_{\max} - I_{\min}}{I_{\max} + I_{\min}} \times 100\%$

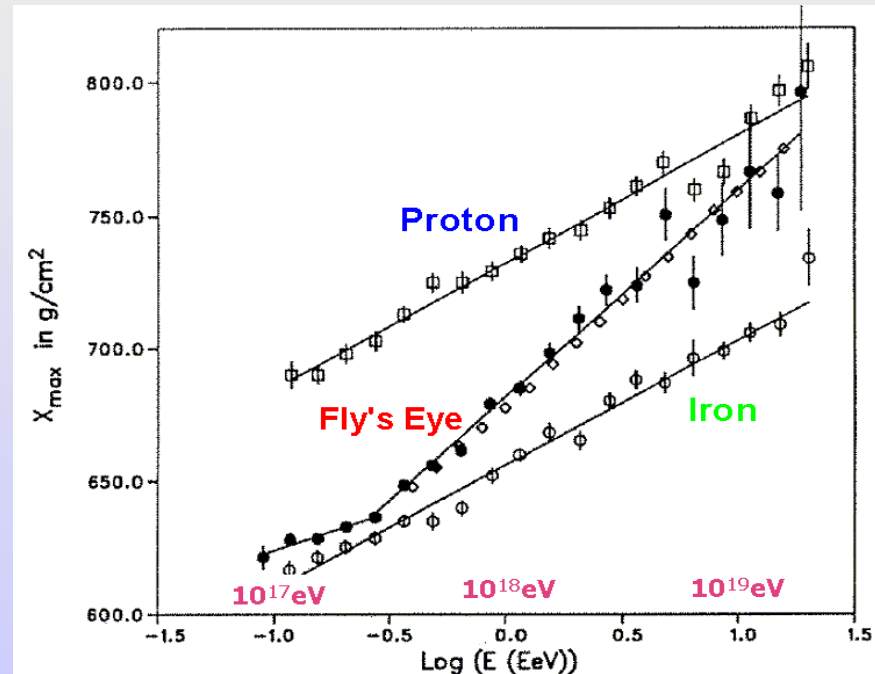
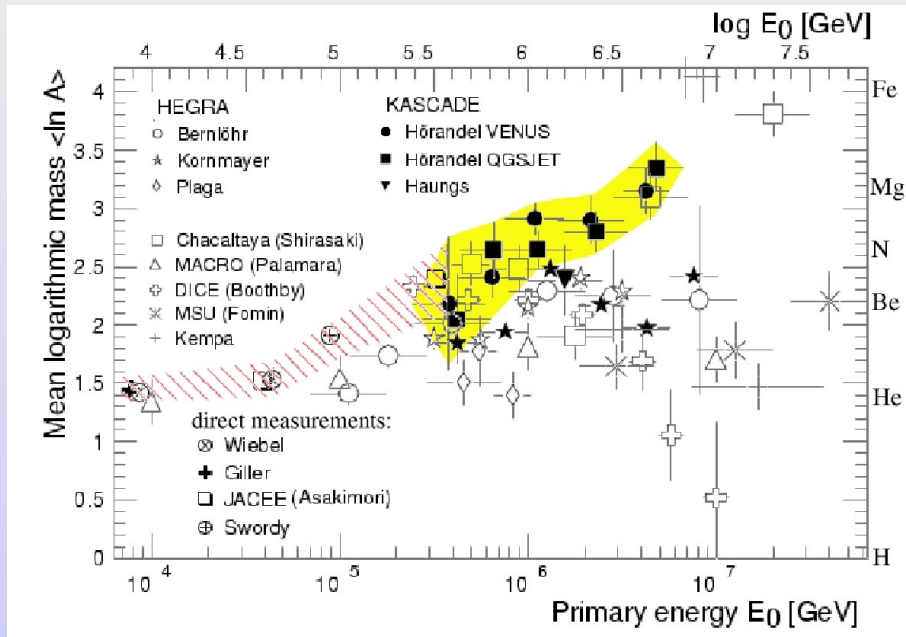
kde  $I_{\max}$  a  $I_{\min}$  jsou maximální a minimální intenzity jako funkce směru příchodu kosmického záření

- Velmi slabá korelace s rovinou Galaxie a Supergalaxie (vyloučení blízkých astrofyzikálních objektů ?)
- Statistika pro nejvyšší energie se opírá o malé množství dat => korelace s astrofyzikálními objekty nejsou průkazná

# Chemické složení

- Přímá detekce satelity a balóny do  $10^{15}$  eV
- Při vyšších energiích odvozování ze zastoupení sekundárních částic v atmosférické spršce a z hloubky spršky  $X_{\max}$  [g/cm<sup>2</sup>]
- funkce průměrné hmotnosti

$$\langle \ln A \rangle = \frac{\sum_i n_i (\ln A_i)}{\sum_i n_i}$$



# Co je třeba vzít v úvahu

## Magnetická pole

Deformují dráhy nabitých částic, ty se pohybují prostorem po spirálách a zobrazení případného zdroje se rozmazává.

Larmorův poloměr

$$r_L[\text{kpc}] = \frac{E [\text{EeV}]}{Z B[\mu\text{G}]}$$

A) Pravidelné struktury (zasahují do velkých vzdáleností)

Galaxie  $\sim \mu$  G (v okolí Slunce 2-3  $\mu$  G)

Meziganalaktický prostor  $\sim$  nG

B) Turbulentní složky až třikrát větší intenzita pole s náhodnou orientací

# Interakce s reliktním zářením

Zdroje musí ležet blíže než **50 Mpc** !  
(vzdálenost kupy galaxií v Panně je 17 Mpc)

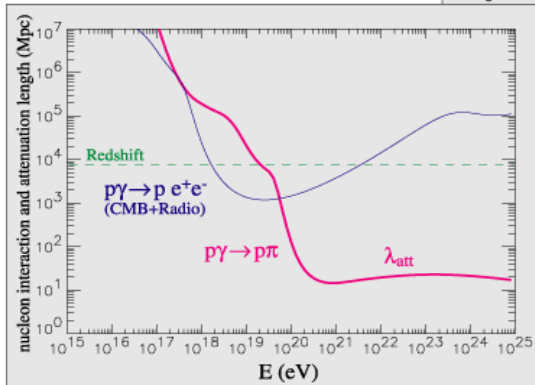
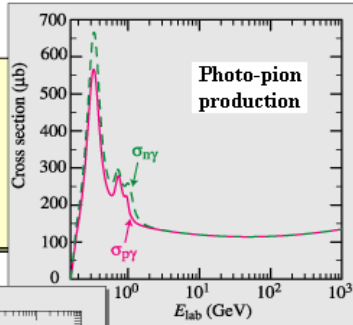
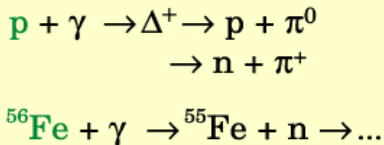
## Greisen-Zatsepin-Kuzmin (GZK) Cutoff

Phys. Rev. Lett. 16 (1966) 748

JETP. Lett. 4 (1996) 78

### Interaction with Cosmic Microwave Background (2.7 K)

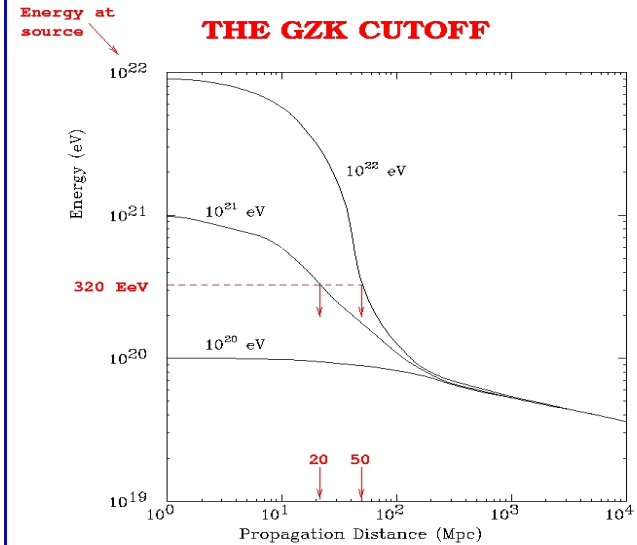
	<b>Proton</b>	<b>2.7 K CMB photon</b>	
Laboratory System	$10^{20}$ eV	$0.5$ meV	$412$ cm <sup>-3</sup>
Rest frame of proton	$E_k=0$ eV	$300$ MeV	



$$E_{th} = \frac{m_\pi (m_p + m_\pi / 2)}{\epsilon}$$

$$\approx 6 \times 10^{19} \text{ eV}$$

Auger Project: GZK



### Energy attenuation of protons

Protons: photopion threshold @ ~50 EeV

Photons: pair production threshold @ ~200 TeV

Nuclei: photodisintegration above 50 EeV

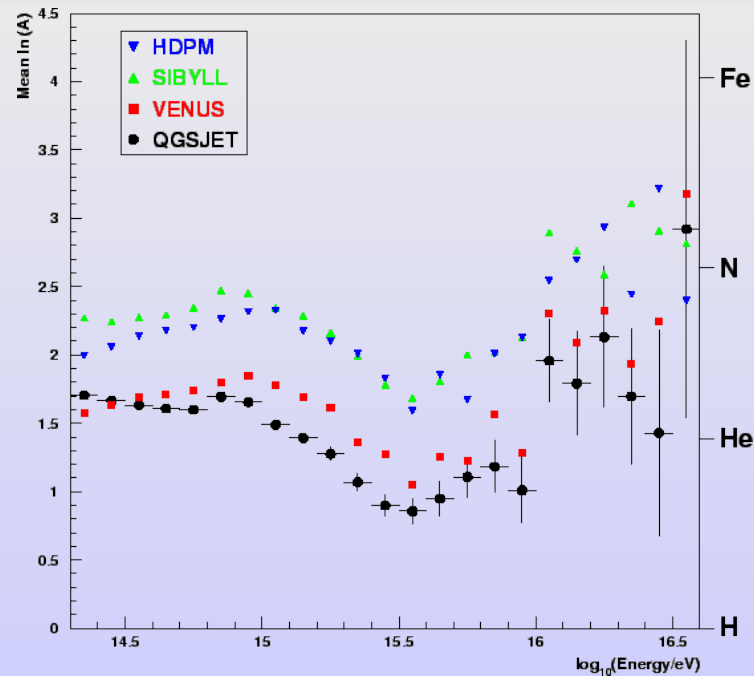
Neutrinos: no problem!

For  $E > 100$  EeV, the source must be within ~50 Mpc



# Nejasnosti v interakcích při vysokých energiích

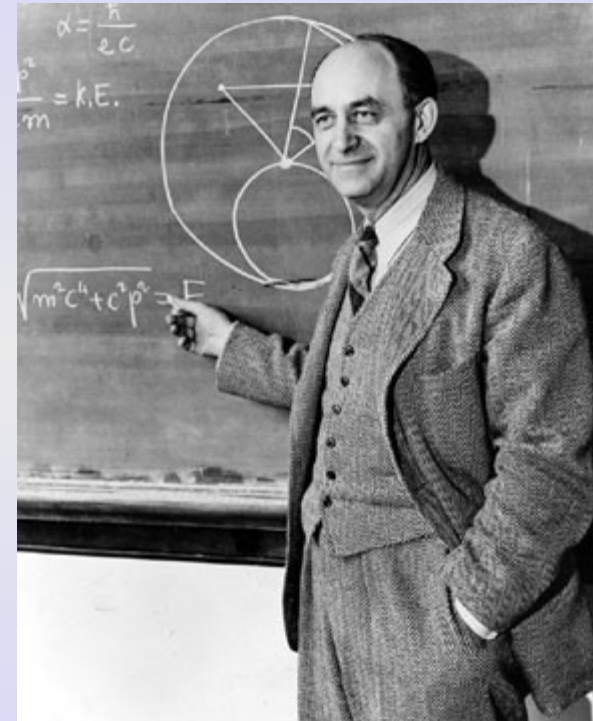
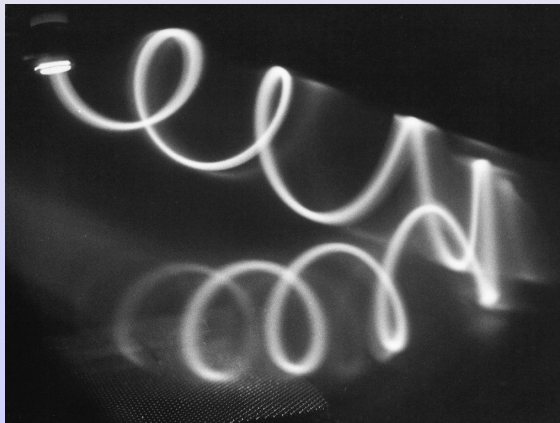
- Nejednoznačná identifikace primárních částic detekovaných pomocí atmosférických spršek
- Programové simulace není možné ověřit na urychlovačích (Tevatron  $\sim 10^{15}$  eV, budovaný LHC v CERN  $\sim 10^{17}$  eV)



# Procesy urychlování

## Fermiho mechanismus

**Enrico Fermi** (1949): Částice pomocí pružných odrazů na nahodných nehomogenitách magnetického pole v mezihvědných oblacích získávají energii.



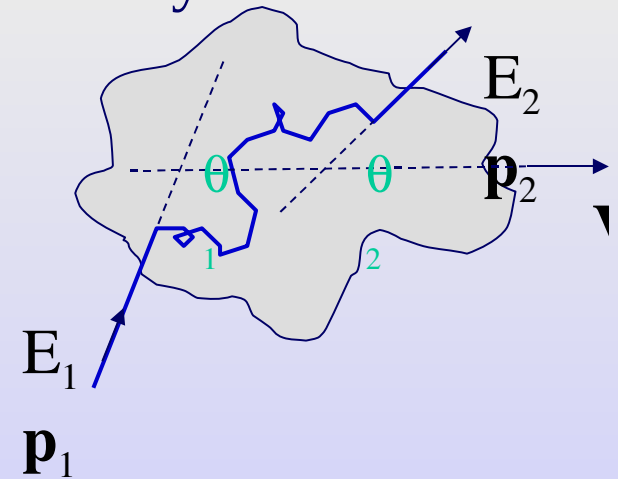
# Jak to funguje?

- Poněvadž jsou změny magnetické pole v průběhu srážky zanedbatelné, je tato kolize ekvivalentní nárazu rychlého míčku s pomalu se pohybující zdí.
- Pohyb částice uvnitř pole lze brát jako náhodný.
- Pravděpodobnost **čelních srážek** částice s magnetickou nehomogenitou je vyšší než nárazů částice do vlny zezadu.
- Energetický zisk  $\Delta E / E \sim (V/c)$

kde  $V$  je rychlost oblaku  
(typická rychlost zvuku v  
mezihvězdném  
prostředí  $\sim 10$  km/s)

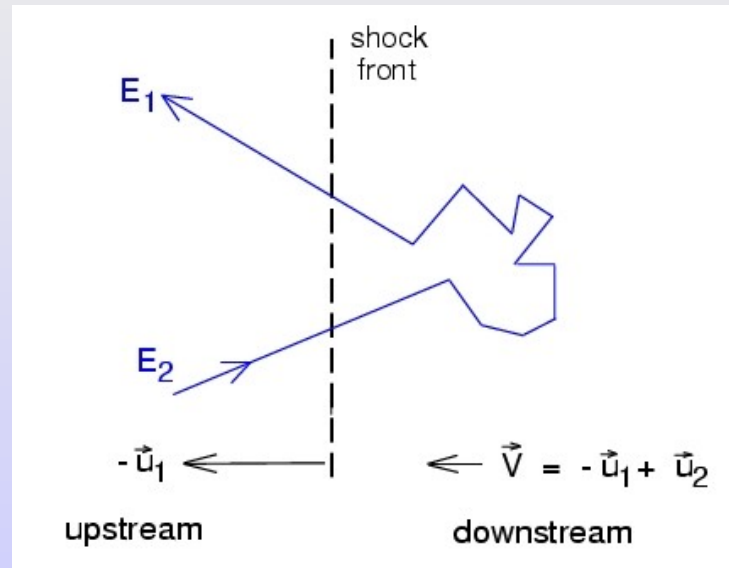
Tento případ nazýváme urychlování **druhého řádu**.

Doba potřebná k urychlení na požadovanou energii je příliš dlouhá!

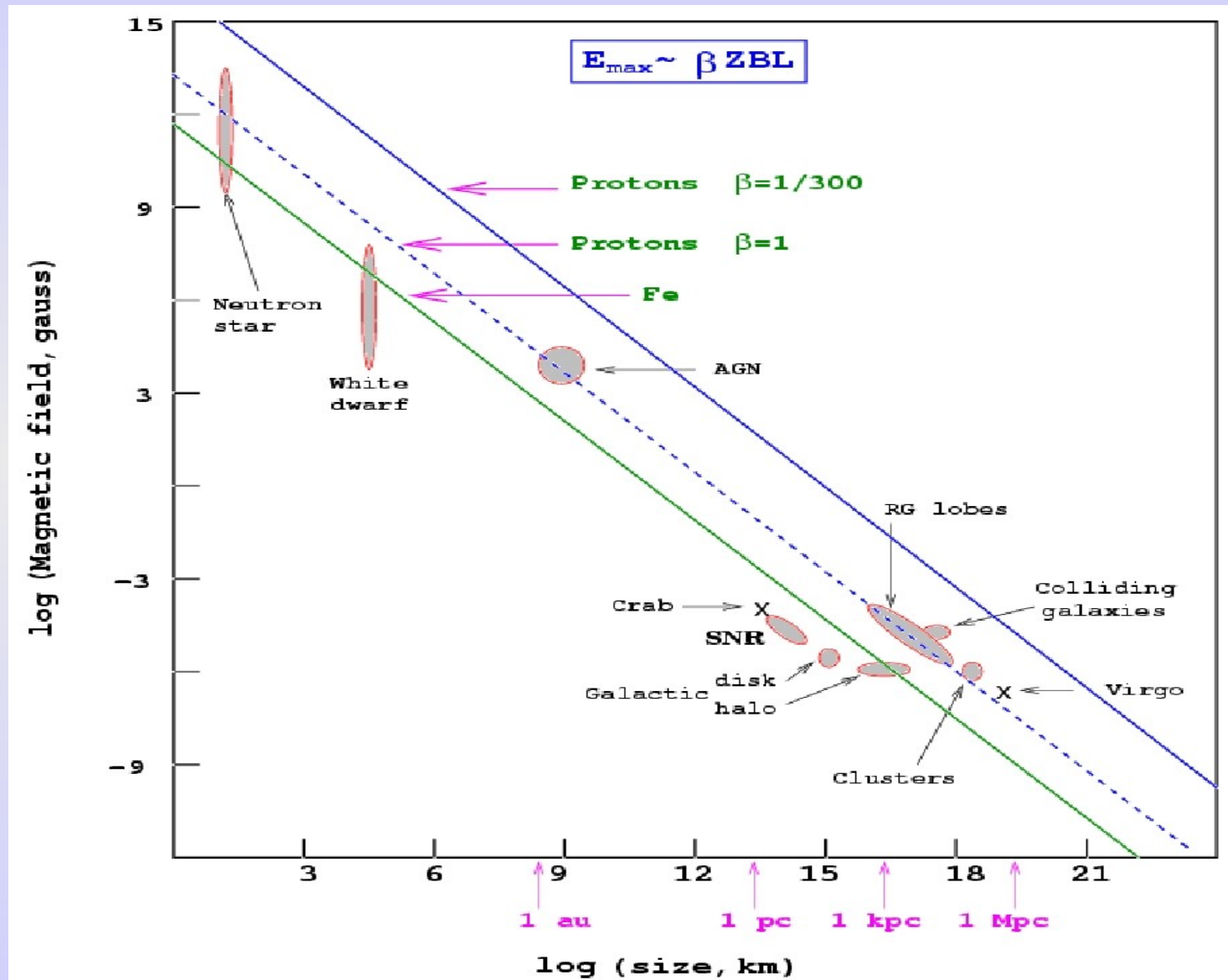


# Urychlování rázovými vlnami

- Rychle se pohybující rázové vlny (materiál vyvržený při výbuších supernov má rychlost  $V \sim 10\,000$  km/s)
- Mnohem účinnější (pohyby nejsou náhodné)
- Energetický zisk  $\Delta E / E \sim \beta$
- Tento případ nazýváme urychlování **prvního řádu**.
- Stačí  $\sim 1$  měsíc na urychlení



# Maximální dosažitelná energie



## Klady:

- produkuje mocninné spektrum  $N(E)dE \propto E^{-x} dE$

s indexem  $x = 1 + \frac{P_{esc}}{\Delta E / E} = \frac{r + 2}{r - 1}$

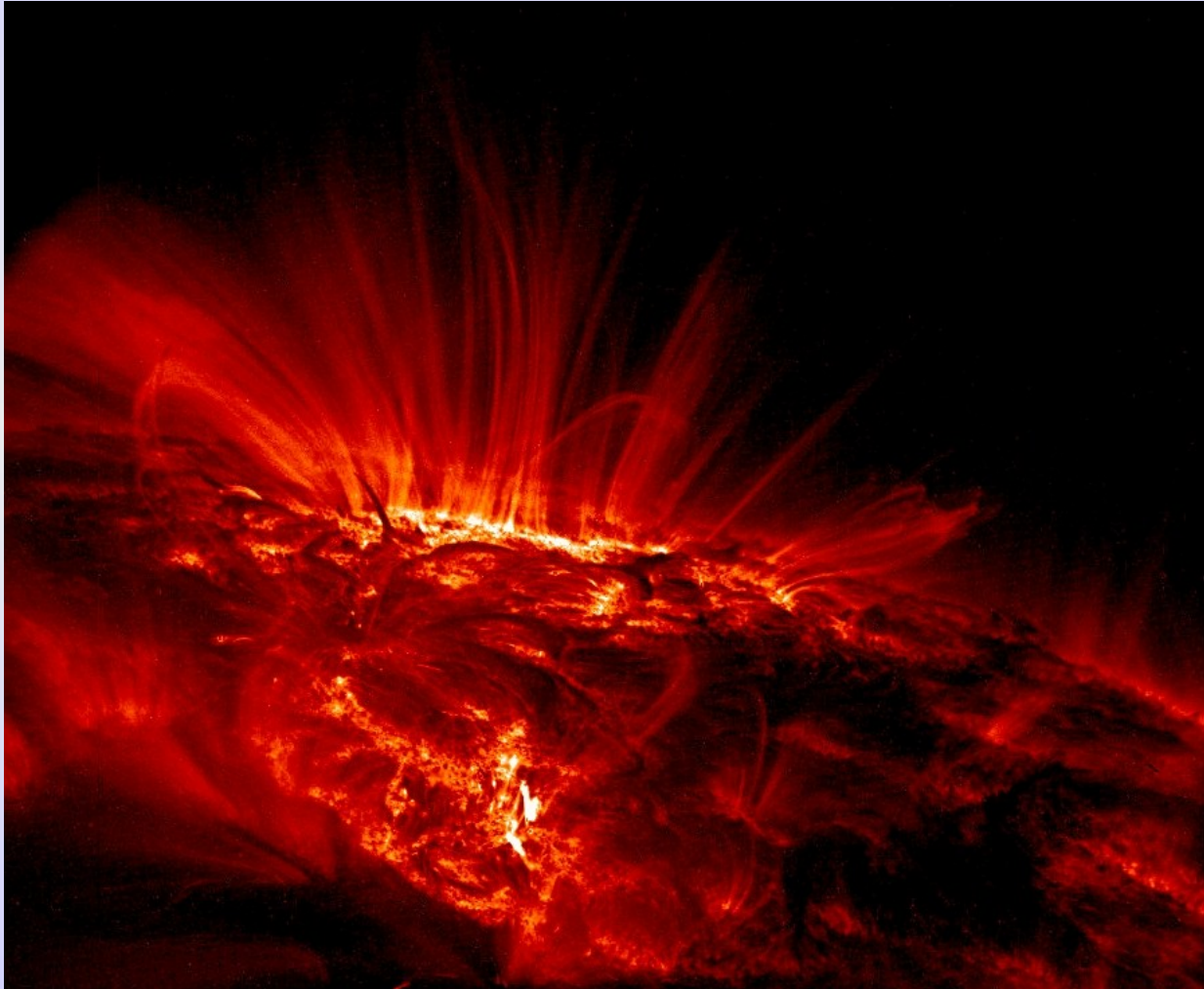
- pozorováno u Slunce (družice Pioneer 10)

## Problémy:

- chybí potvrzení laboratorními pokusy
- nebyly pozorovány silné turbulence v rázových vlnách
- nejvyšších energií se u astronomických objektů se docíluje jen při potlačení energetických ztrát

# Magnetická rekonexe

(řešení záhady ?)

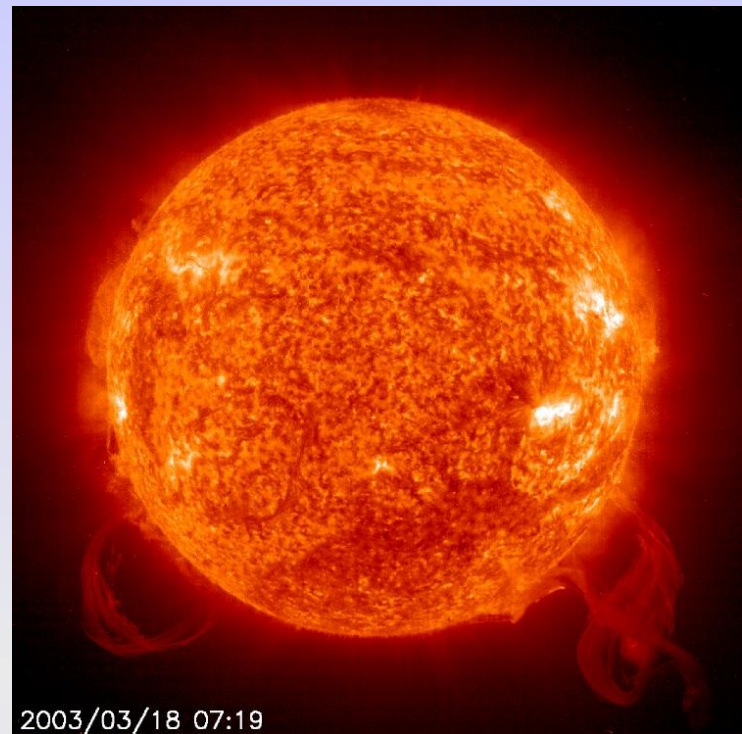


## Klady:

- “Denně” pozorována na Slunci
- Zdá se, že k ní dochází kdekoli v magnetizované plazmě
- Úspěšné experimenty v laboratořích

## Obtíže:

- Složité modelování magnetohydrodynamickými rovnicemi
- Nejasné energetické ztráty urychlovaných částic
- Dokáže produkovat mocninné spektrum ?



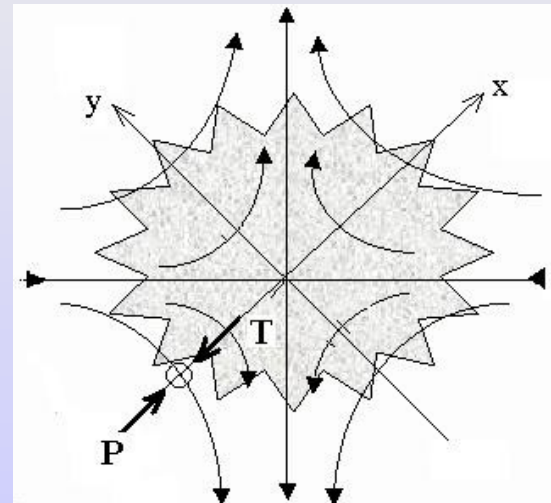


# Vznik magnetické rekonexe

- Magnetická rekonexe je lokální narušení podmínky zamrznutí magnetického pole v plazmatu (není ideálně vodivé).

$$\nabla \times (\mathbf{v} \times \mathbf{B}) = \frac{\partial \mathbf{B}}{\partial t}$$

- Nastává v oblasti, kde se propojují opačně orientované siločáry magnetického pole (tzv. X-point nebo **nulový bod**). Vyskytují se u multipólových zdrojů.



- V nulovém bodě je magnetické pole velmi slabé:  
 $B_x = y, B_y = x$  (magnetické siločáry jsou hyperboly)
- Sílu magnetického napětí  $T$  působící na libovolný element plazmy vyrovnává síla magnetického tlaku  $P$ .  
 Výsledná Lorentzova síla je nulová:

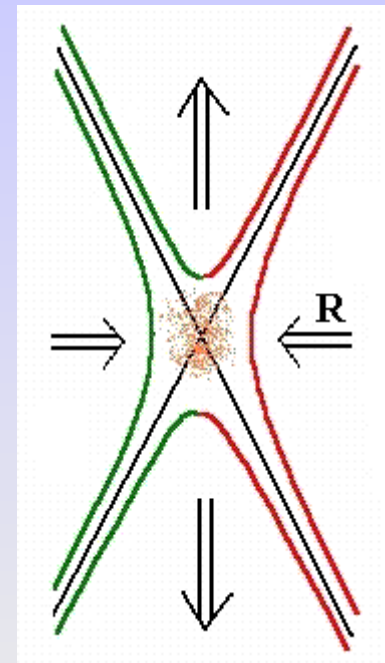
$$\mathbf{j} \times \mathbf{B} = \frac{1}{\mu}(\mathbf{B} \cdot \nabla)\mathbf{B} - \nabla \left( \frac{B^2}{2\mu} \right).$$

- Malá porucha:  $B_x = y, B_y = \alpha x$ , kde  $\alpha > 1$
- Ampérův zákon  $\nabla \times \vec{B} = \mu \vec{j}$  z čehož plyne  $j_z = \frac{\alpha - 1}{\mu}$   
 a výsledná Lorentzova síla

$$\vec{j} \times \vec{B} = -\frac{(\alpha^2 - 1)\alpha^2 x}{\mu} \hat{x} + \frac{(\alpha^2 - 1)y}{\mu} \hat{y}$$

způsobuje narůstání původní perturbace (“uzavírání nůžek”), což znamená, že původní rovnovážné uspořádání není stabilní

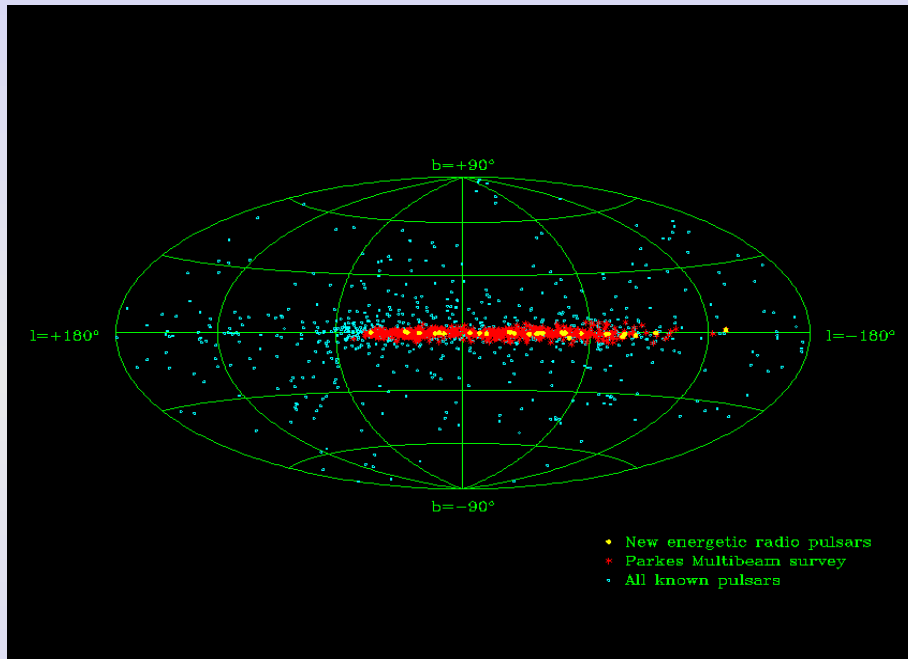
Lorentzova síla má velikost  $R = P - T$



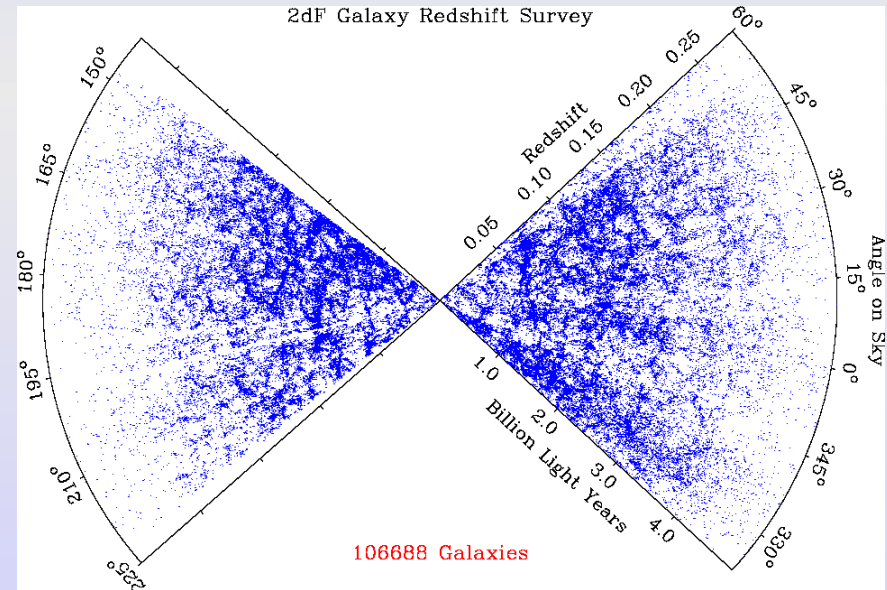
Výsledkem celého procesu je vznik silného proudu ve směru osy z, jenž má za následek vytvoření elektrického pole.

# Polohy zdrojů

- Galaktické - koncentrované k disku Galaxie



- Extragalaktické zdroje

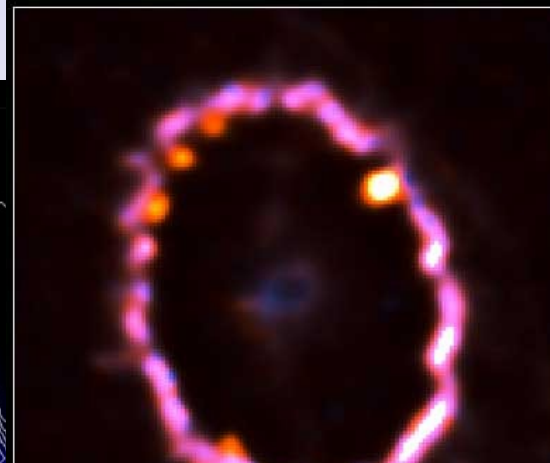
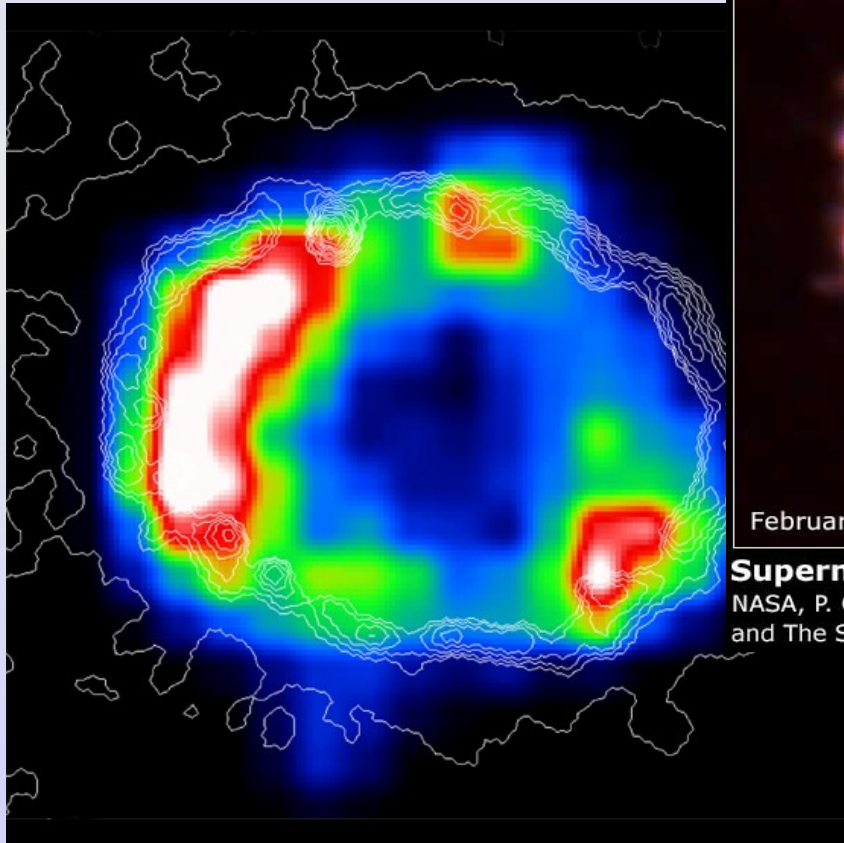


# Galaktické zdroje

- Zbytky supernov
- Neutronové hvězdy
- Ranné hvězdy typu T Tauri
- Těsné dvojhvězdy (s neutronovou hvězdou nebo černou dírou)

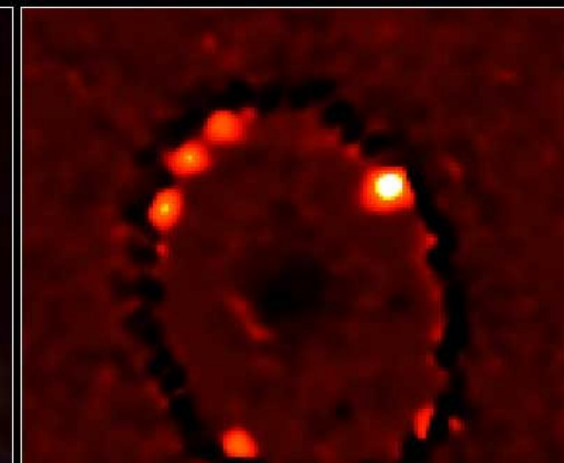
# Zbytky po výbuchu supernov

- určitě do oblasti kolene (3 výbuchy za 100 let)
- energie do  $10^{18}$  eV ?

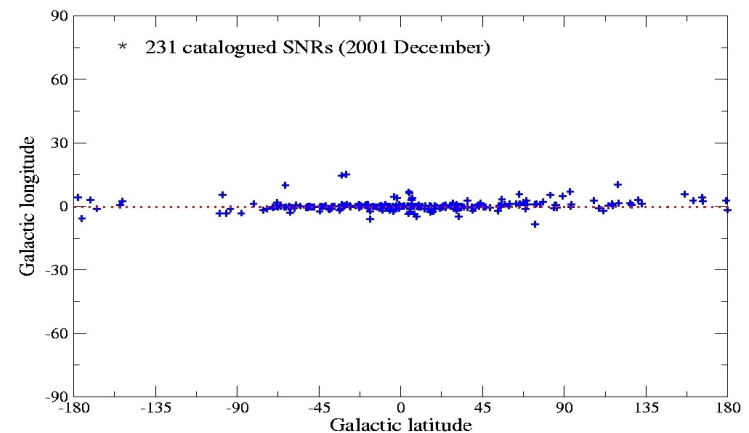


February 2, 2000

**Supernova 1987A**  
NASA, P. Challis and R. Kir  
and The SINS Collaborator

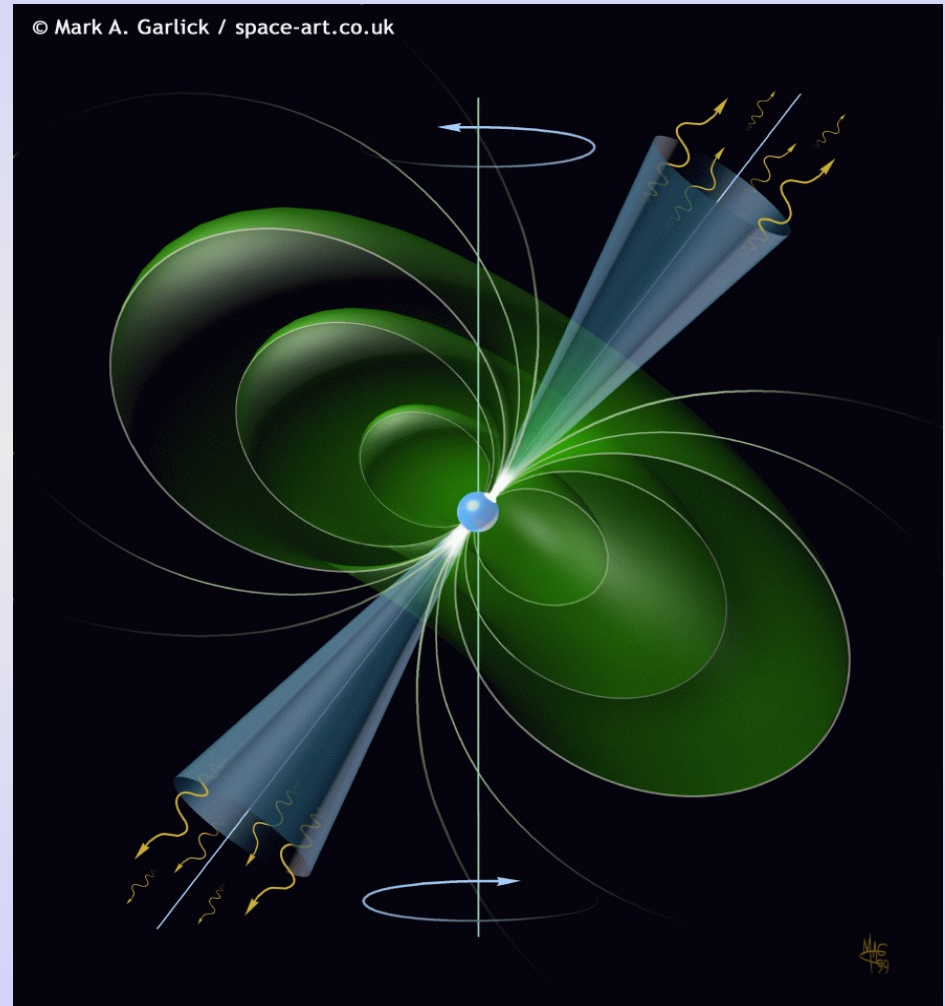


The positions of Galactic Supernova Remnants

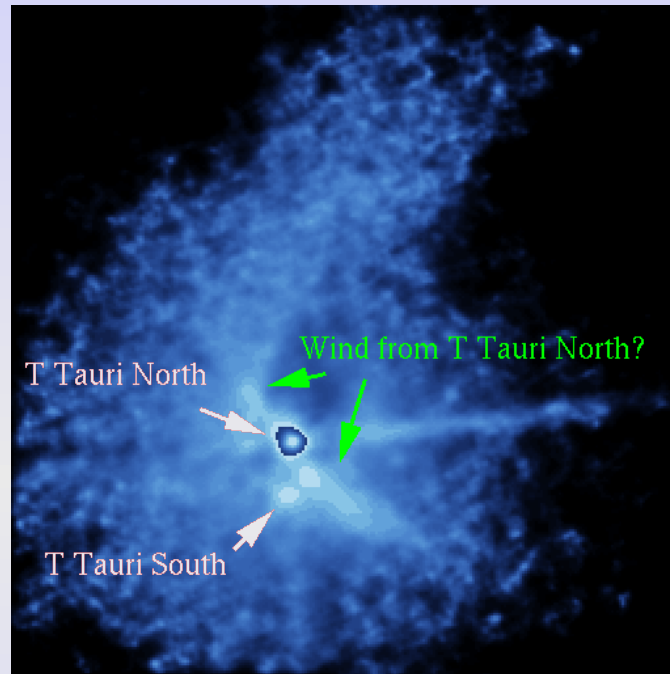


# Neutronové hvězdy

- silné magnetické pole (až  $10^{15}$  eV)
- rychlá rotace ( $< 10$  ms)
- korelace s gal. diskem (velikost mag. pole Galaxie)
- převážně atomy Fe



# Hvězdy typu T Tauri



## Těsné dvojhvězdy

obdoba aktivních galaktických jader v malém měřítku

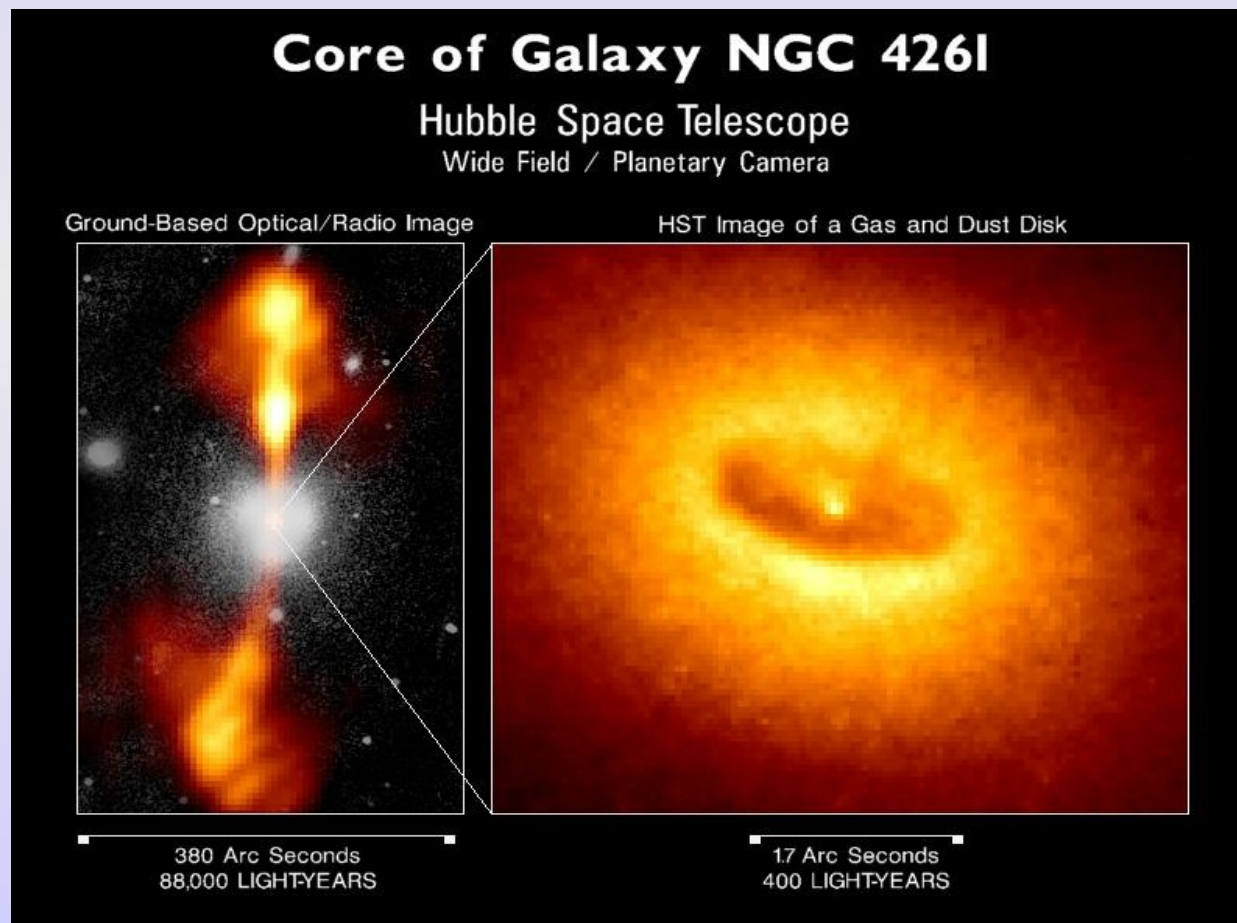


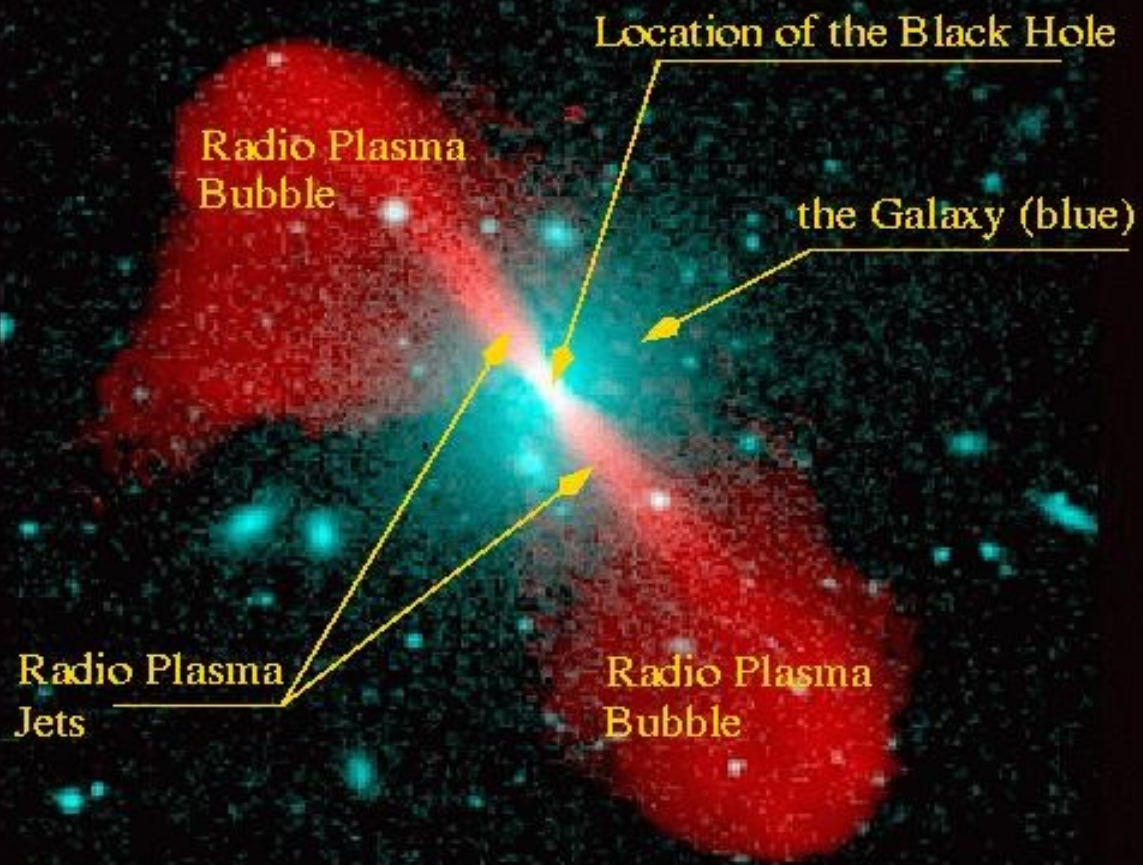
# Mimogalaktické zdroje

(Buď “lokální“ nebo tvrdé spektrum)

- Aktivní jádra galaxií
- Astrofyzikální výtrysky
- Horké skvrny rádiových laloků v radiogalaxiích
- Srážky galaxií
- Velkorozměrné struktury galaxií
- Záblesky gama záření
- Neaktivní kvasary

- neznáme přesné parametry (mag. pole, hustota, ...)
- ztráty energie při velké svítivosti objektu
- spinflip (proton - neutron - proton) řeší jen  $< 10^{19}$  eV)
- rekonexe v akrečním disku



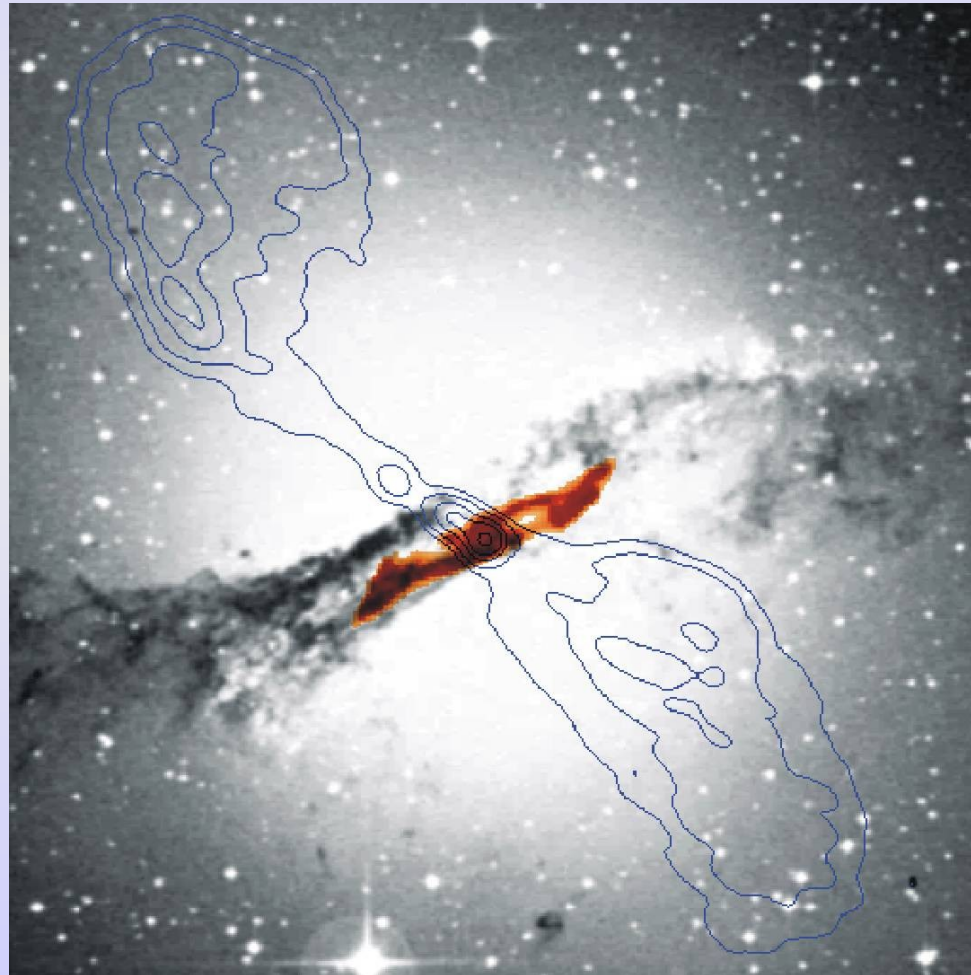


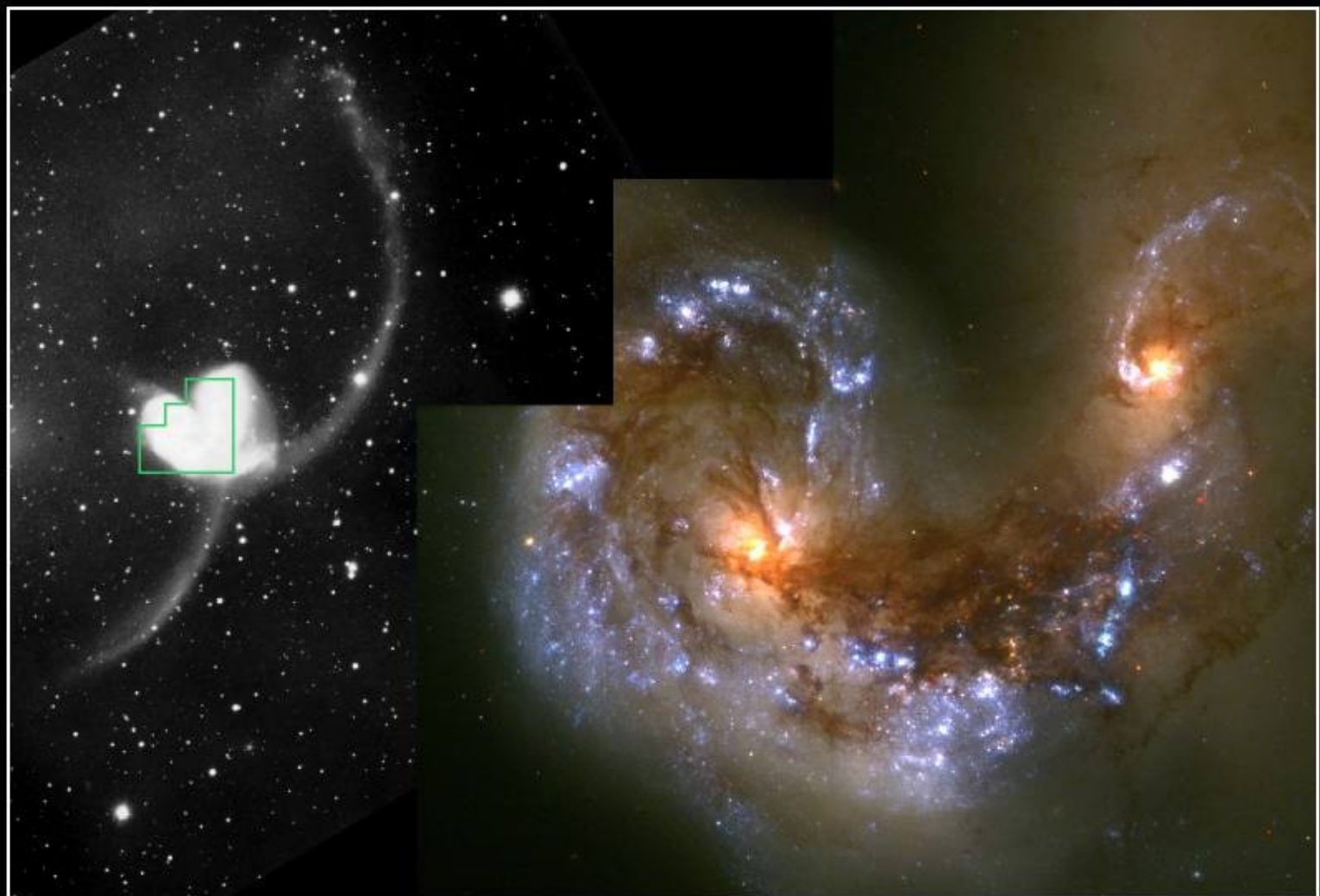
Radio Galaxy 3C296  
Radio/optical superposition

Copyright (c) NRAO/AUI 1999

# Radiogalaxie

- konce jetů do mezigalaktickém prostoru
- dříve favorizovaný zdroj
- částice uniká do “volného prostoru“



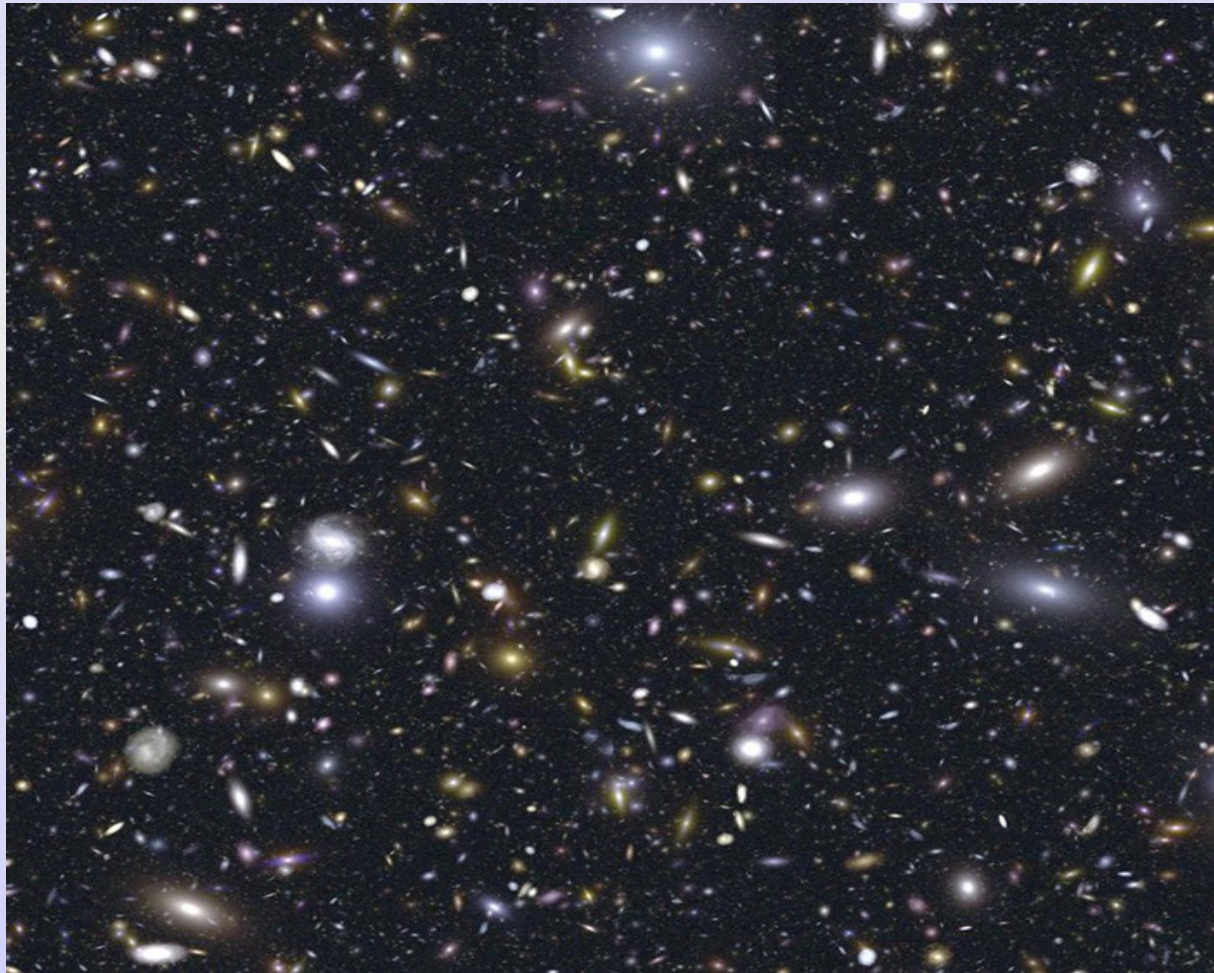


**Colliding Galaxies NGC 4038 and NGC 4039**

HST • WFPC2

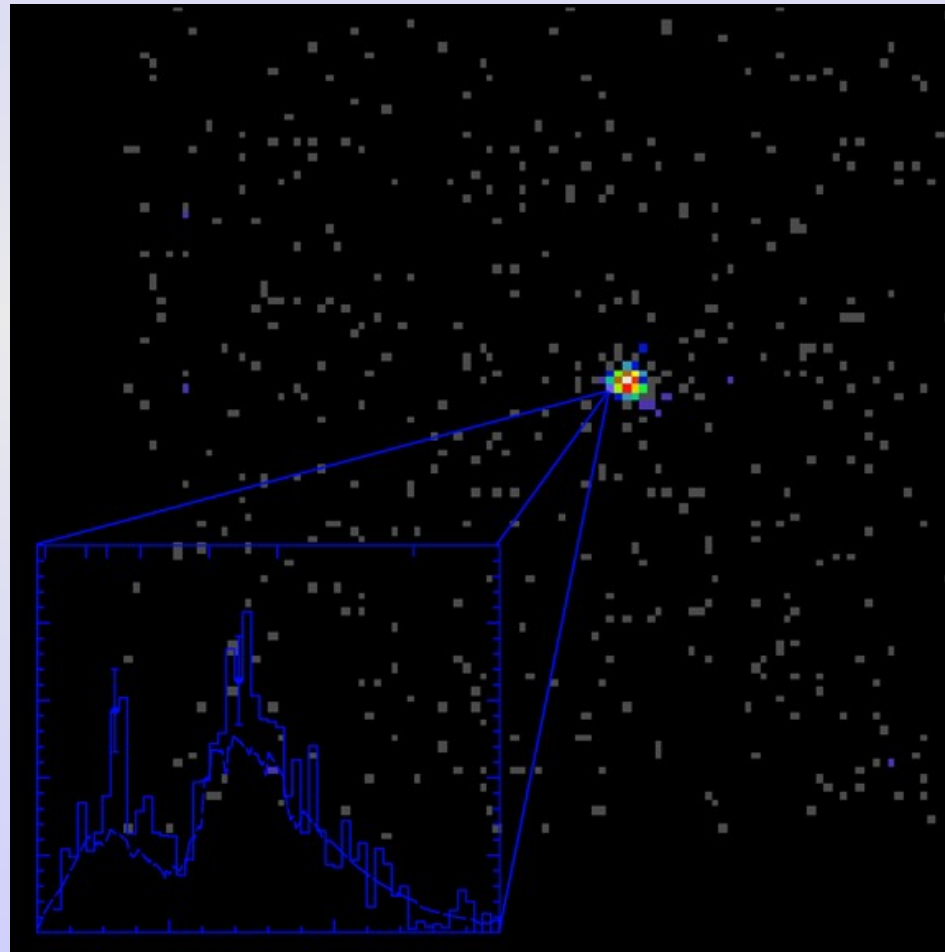
PRC97-34a • ST Scl OPO • October 21, 1997 • B, Whitmore (ST Scl) and NASA

- shluky galaxií
- vzniknou během vývoje po Velkém třesku (pokud je temná hmota “chladná“)



## GRBs:

- nejenergetičtější proces ve vesmíru
- zdroje neznámé (kolaps neutronové hvězdy, hypersupernovy)
- kosmologické vzdálenosti



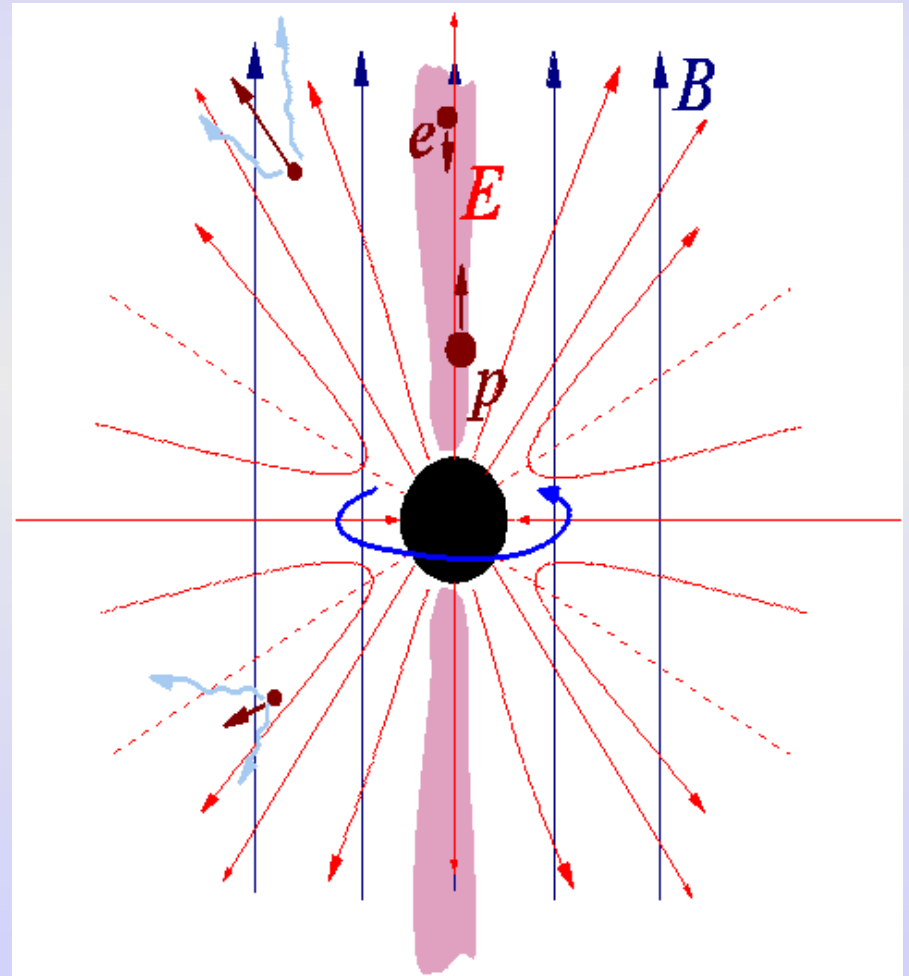
# Supermasivní černé díry jako lineární urychlovače

Urychlení podél rotační osy

=> malé energetické ztráty

S. Colgate předpokládá rekonexi spirálovitých magnetických polí vzniklých v průběhu formování galaxií:

$$E_{\max} = 10^{20} \left( \frac{M_{\text{bh}}}{10^8 M_{\text{sun}}} \right) \left( \frac{B}{10^4 \text{ G}} \right) \text{ eV}$$





# Jiné teorie o původu extrémně energetických částic

- Rozpady supertěžkých částic
- Z-bursty
- Vypařování primordiálních černých děr
- spousty dalších

Předpovídají převahu **neutrin** a gama fotonů oproti protonům (nejsou zastoupena těžší jádra).

# Rozpady supertěžkých částic

- Zbytky inflačního rozpínání po Velkém třesku.
- Doba života nepřímoúměrná hmotnosti.
- Dnes mají být tvořeny z objektů vzniklých během narušení symetrií na konci inflace.

